

## 砂面不安定性に及ぼす横断方向流砂量の効果

京都大学工学部 正員 中川 博次  
 京都大学工学部 正員 村上 正吾  
 京都大学大学院 学生員 ○福島 卓也

1. まえがき 中規模河床形態の形成機構として従来より3次元砂面不安定解析が行なわれてゐるが、本研究では、掃流砂運動に着目し、むしろ小規模3次元河床波を意識して解析を行ない、本報では、特に横断方向流砂量の役割に焦点を当てて述べる。

2. 砂面不安定要因としての流砂の連れ距離 砂面  $\zeta(x, y, t) = a \cos ly \cdot \sin K(x - ct)$  --- (1) との時間的変化率  $\partial \zeta / \partial t = r_x \cdot a \cos ly \cdot \sin \{ K(x - ct) - \phi_z \}$  --- (2) とおくと、2次元の場合と同様  $\phi_z$  の属する象限により砂面擾乱の盛衰、進行方向が決定される。擾乱砂面上の流砂量が流下方向、横断方向成分に分けられ、それらは  $\delta_{Bx}(x, y, t) = \delta_{Bo} \{ 1 + r_{Bx} a \cos ly \cdot \sin K(x - ct - \delta_{Bx}) \}$ ;  $\delta_{By}(x, y, t) = \delta_{Bo} \{ 1 + r_{By} a \cos ly \cdot \sin K(x - ct - \delta_{By}) \}$  --- (3) ( $\delta_{Bo}$ : 非擾乱流砂量) と書けるものとすれば、これら流砂の連続式である  $\partial \zeta / \partial t = \{-1/(1-\rho_0)\} (\partial \delta_{Bx} / \partial x + \partial \delta_{By} / \partial y)$  --- (4) に代入、式(2)と等値することから次のように  $\phi_z$  は流砂の連れ距離  $\delta_{Bx}, \delta_{By}$  と関係づけられることがわかる。  
 $\sin \phi_z = (\cos K \delta_{Bx} - \varepsilon_0 \varepsilon_1 \sin K \delta_{By}) / R_0; \cos \phi_z = -(\sin K \delta_{Bx} + \varepsilon_0 \varepsilon_1 \cos K \delta_{By}) / R_0$  --- (5), 但し,  $R_0^2 = 1 + (\varepsilon_0 \varepsilon_1)^2 + 2 \varepsilon_0 \varepsilon_1 \sin K (\delta_{Bx} - \delta_{By})$  --- (6),  $\varepsilon_0 = l / K$  (流下方向の河床波長と横断方向波長の比) 3次元性の指標となる),  $\varepsilon_1 = r_{By} / r_{Bx}$  である。以上のように、3次元不安定解析における流砂の連れ距離の評価が重要であることがわかる。

3. 違小距離の評価 流下方向流砂量の連れ距離は、すでに中川ら<sup>1)</sup>の行ったように、非平衡流砂量式 (Euler 的に解釈される stochastic model) を用いることと、次のように底面せん断応力  $\tau$  (流下方向) の擾乱成分の位相差  $\phi_\tau$  と関係づけられる。 $K \delta_{Bx} = K \delta_{Bc} + \phi_\tau$  --- (7), ここで  $\sin K \delta_{Bc} = \kappa \lambda / \sqrt{1 + (\kappa \lambda)^2}$ ;  $\cos K \delta_{Bc} = 1 / \sqrt{1 + (\kappa \lambda)^2}$  --- (8), また、さらに中川らの pick-up rate 推定式を用いると、 $r_{Bx} / r_c = \{ 1 + (m-1) R_2 / \eta \} / \{ (1 - R_2 / \eta) \sqrt{1 + (\kappa \lambda)^2} \}$  --- (9) があり、 $\lambda$ : 平均 step length,  $\eta \equiv \tau_0 / \tau_c$  ( $\tau_0$ : 非擾乱部掃流力,  $\tau_c$ : 限界掃流力), また  $m = 3$ ,  $R_2 = 0.7$  は pick-up rate 推定式に含まれる係数である。また  $r_{Bx} \tau_0$  は掃流力変動成分の振幅である。一方、横断方向の流砂量は、流送の小さな砂粒子の運動方向をまとめて、 $\delta_{By} = \delta_{Bx} \tan \gamma \approx \delta_{Bo} \cdot \bar{\tau}(x, y, t)$  --- (10) となる ( $\bar{\tau} \equiv \tan \gamma$ )。3次元擾乱路床の場合、これは、横断勾配  $\theta$  ( $\theta \equiv \tan \theta$ ) 及び流下方向の偏り角  $\gamma$  ( $\gamma \equiv \tan \gamma$ ) の関数である。すなわち  $\tan \gamma = \bar{\tau}(\Gamma, \theta)$  である。線型解析を行うようでは微小擾乱場では、 $\Gamma \approx 0$ ,  $\theta \approx 0$  であるので、 $\bar{\tau} = \partial \bar{\tau}(\Gamma, \theta) / \partial \Gamma|_{\Gamma=0} \cdot \Gamma + \partial \bar{\tau}(0, \theta) / \partial \theta|_{\theta=0} \cdot \theta$  --- (11) と表わされる。まず、 $\Gamma = 0$  のときの粒子の運動方程式は以下のとおり、非定常項を無視すると次式を得る。

$\bar{\tau}^4 \{ \mu_f^2 + (\theta - \mu_f \bar{\tau})^2 \} = \Theta^4 / T_*^2$  --- (12), 但し,  $T_* \equiv (C_D A_2 / 2A_3) \cdot (u_0 / u_*)^2 \cdot T_*$  --- (13),  $\mu_f$ : 砂の河床に対する摩擦係数,  $C_D$ : 抗力係数,  $A_2, A_3$ : 砂の形状係数,  $u_0$ : 河床付近の流速,  $u_*$ : 摩擦速度,  $T_*$ : 無次元掃流力である。 $\theta \approx 0$  のとき  $\bar{\tau} = \theta / \sqrt{\mu_f T_*}$  --- (14) と近似される。

Hiroji NAKAGAWA, Shougo HURAKAMI, Takuya FUKUSHIMA,

すなわち、 $\partial\psi(0,\theta)/\partial\theta|_{\theta=0} = 1/\sqrt{\mu_g T_F}$  ... (15) が得られる。一方、 $\theta=0$  の解析より  
 $\partial\psi(F,0)/\partial\Gamma|_{\Gamma=0} = 1$  ... (16) が得られ、結局、線型不安定解析における式、 $\dot{\theta} = \Theta_2/\sqrt{\mu_g T_F} + \Gamma$  ... (17) と近似式を子にとがわかる。 $\dot{\theta} = -\partial\psi/\partial y = \alpha l \sin y \cdot \sin k(x-ct)$  ... (18)、  
 $\Gamma = r_F \alpha \sin y \cdot \sin \{k(x-ct) - \phi_F\}$  ... (19) とおくと、次のように  $r_{By}$ ,  $k\delta_{By}$  が決定される。

$$r_{By} = \{l \alpha / \sqrt{\mu_g T_F} + r_F \cos \phi_F\}^2 + r_F^2 \sin^2 \phi_F \quad \dots (20)$$

$$\sin k\delta_{By} = r_F \sin \phi_F / r_{By}; \quad \cos k\delta_{By} = (l \alpha / \sqrt{\mu_g T_F} + r_F \cos \phi_F) / r_{By} \quad \dots (21)$$

4. 3次元擾乱床面上の流れ 上述のように砂面への3次元不安定性は流下方向及び横断方向流砂量の遅れ距離に依る所あり、それらはそれぞれ掃流力、流向の位相によつて決められる。言ふ換えれば、3次元擾乱床工の流れ場の定式化が必要があり、従来はむしろ、この側面に関心が注がれており、これまで、いくつかのモデルが提案されていく。ミニズは機構の詳細まで論じられるようになつた中川らの2次元不安定解析を採用してみると、小規模河床形態では水脈の収縮・拡大の効果が相当認められると判断されることがあり、3次元ポテンシャル流モデルを基礎とし、掃流力の評価に工夫を加えることとした。すなわち、ポテンシャル流理論を用いた方向流速、水面擾乱  $\psi_u, \psi_s$  を用いて、掃流力の振動分  $\psi_t$  が次のようく表わされるものとした。 $\psi_t = 2\psi_u - \alpha \frac{\partial}{\partial x} (\psi_s - z)$  ... (22)，但し、 $\alpha = 1.2/Fr^2$  とした。さらに、 $\Gamma = \psi_t$  とおられる。

5. 解析結果 上記解析結果として得られた  $\psi_t$  と  $x/h$  の関係を Froude 数と  $\Gamma$  とし示したのが図-1である。図-1は  $\epsilon_s = 0.0$  の場合である。この値より2点元から3次元性が卓越してくるにつれての変化が知られる。 $\psi_t$  が第1、第4象限に属する条件において、それぞれ下流、上流へ進行する砂面波の発達がみられる。今後、これらにせん断流モデルとの比較や、実際の河床形態との関連について考慮を深めてゆきたいと考えている。

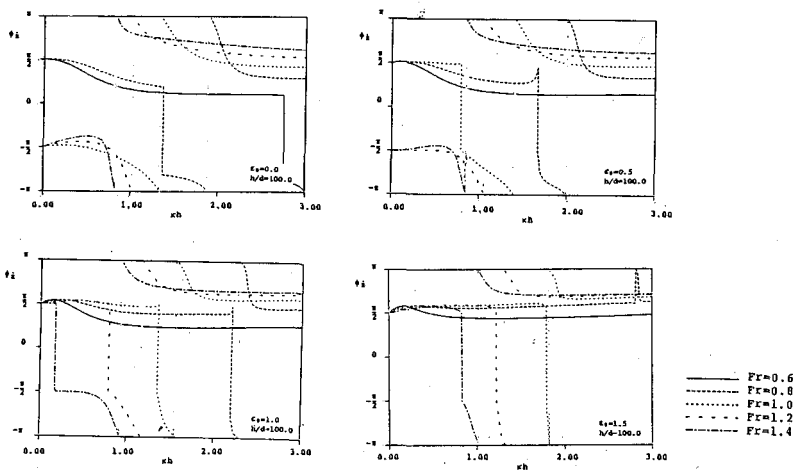


図-1 ポテンシャル流理論による位相差  $\psi_t$ : ( $\alpha_1=0$ ,  $\alpha_2=1.2/Fr^2$ )

#### <参考文献>

- Nakagawa, H. & T. Tsujimoto; Proc. ASCE, 106, HY12, 1980